

# Si(100)面的红宝石激光辐照氧化问题

许振嘉 陈维德

(中国科学院半导体研究所)

1984年7月30日收到

利用溅射 AES, Normaski 显微术和 IR 吸收光谱研究了在空气中用调Q红宝石激光辐照的 Si(100)面。脉冲能量密度为 ( $0.8\text{--}2.5 \text{ J} \cdot \text{cm}^{-2}$ )，脉冲宽度 $\sim 30\text{ ns}$ 。实验结果表明，辐照后的硅表面没有形成 $>10\text{ \AA}$ 的  $\text{SiO}_2$ 层，氧的沾污深度只有 $\sim 50\text{ \AA}$ 。

近年来，对硅表面激光辐照的氧化问题发表了不少工作，但结论很不一致。Garulli 等<sup>[1]</sup>在空气中用调Q红宝石激光器 ( $1.7\text{--}1.9 \text{ J} \cdot \text{cm}^{-2}$ ,  $20\text{ ns}$ ) 对硅表面进行辐照，发现氧的沾污很严重，在  $125\text{ nm}$  深处，利用 TEM 观察到  $250\text{ nm}$  厚的  $\alpha\text{-SiO}_2$ ，因而建议应在高真空中进行激光退火。Liu 等<sup>[2,3]</sup>认为，用 UV 激光 ( $266\text{ nm}$ ) 在空气或氧气中辐照硅片，由于激光可使 Si 对氧有“留住”效应，因而可利用激光辐照制备 ( $60\text{--}300\text{ \AA}$ ) 的  $\text{SiO}_2$  薄层。Cros 等<sup>[4]</sup>利用调Q红宝石激光器 ( $1.3 \text{ J} \cdot \text{cm}^{-2}$ ,  $30\text{ ns}$ ) 在不同的氧气压下辐照硅片，他们认为在  $<10\mu\text{s}$  的瞬态时间内能形成不超过两原子层的表面氧化层，其厚度与氧气气压和辐照功率关系不大。但因为氧不足以维持生成  $\text{SiO}_2$  的需要，所以虽加长辐照时间，仍不能使  $\text{SiO}_2$  继续增厚。Westendorp 等<sup>[5]</sup>则认为，Si 片虽经调Q红宝石激光器辐照，但不能产生氧的内扩散，只能产生氧的脱附。

我们研究了在空气中用 CW  $\text{CO}_2$  ( $\lambda = 10.6 \mu\text{m}$ ) 长时间 ( $\sim 20$  秒) 对 Si(100)面辐照后所产生的氧化问题<sup>[6]</sup>。实验表明，在这样长时间的激光辐照下，其氧沾污的程度并没有如 [1] 所报道的那么严重。根据目前对 Si 表面激光辐照氧化的不同观点，本文目的是进一步研究各种能量密度的调Q红宝石激光在短时间 ( $\sim 30\text{ ns}$ ) 内辐照硅片表面后所产生的氧化问题。同时，根据两种很不相同的实验条件：一种利用 CW  $\text{CO}_2$  激光 ( $\lambda = 10.6 \mu\text{m}$ ,  $P = 550 \text{ W} \cdot \text{cm}^{-2}$ ) 在空气中长时间 ( $\sim 20$  秒) 辐照(固相模式)；另一种是利用红宝石激光 ( $\lambda = 6940\text{ \AA}$ ,  $(0.8\text{--}2.5) \text{ J} \cdot \text{cm}^{-2}$ ) 在空气中进行短时间 ( $\sim 30\text{ ns}$ ) 辐照(固相模式或液相模式)，讨论硅表面的激光辐照氧化机理。

## 一、 实验

本工作所用硅片都是 CZ-Si, (100)面。样片分两种： $n$ 型， $\rho \approx 0.2 \Omega \cdot \text{cm}$ ,  $0.5\text{ mm}$  厚，( $8 \times 8\text{ mm}^2$ ) 方片； $p$ 型， $\rho \sim 14 \Omega \cdot \text{cm}$ ,  $\sim 1\text{ mm}$  厚，扇形 ( $\sim 140\text{ mm}^2$ )。样片两面抛光。在激光辐照前，硅片用  $\text{H}_2\text{SO}_4$  和王水各煮一次，再用去离子水大量冲洗，达到洗净为止。用调Q红宝石脉冲激光 ( $\lambda = 6940\text{ \AA}$ ,  $\tau = 30\text{ ns}$ ) 在空气中进行激光辐照。光束未经匀光器均匀化。束斑  $\sim \phi 10\text{ mm}$ ，能量密度： $E = 0.8 \text{ J} \cdot \text{cm}^{-2}$ ,  $1.0 \text{ J} \cdot \text{cm}^{-2}$ ,

$1.5 \text{ J} \cdot \text{cm}^{-2}$ ,  $2.0 \text{ J} \cdot \text{cm}^{-2}$  和  $2.5 \text{ J} \cdot \text{cm}^{-2}$ .

经辐照后的样品，在 PE599B 红外光谱仪用样品参比法观察  $1106\text{cm}^{-1}$  附近的红外吸收光谱。用相衬干涉显微镜观察激光辐照后的表面形貌。最后用 PHI 550 电子能谱仪进行表面及深度的杂质分析。AES 的电子束斑  $\phi \sim 50 \mu\text{m}$ , 束压  $5\text{keV}$ , 束流  $1 \times 10^{-6}\text{A}$ .  $\text{Ar}^+$  束溅射电压  $2\text{kV}$ , 束流  $2.8\mu\text{A}$ .

## 二、结 果

### 1. 表面形貌与 IR 吸收光谱

我们所用激光辐照能量范围为 ( $0.8$ — $2.5 \text{ J/cm}^2$ )。据计算，在上述能量密度的激光辐照下，Si 片表面应当包括固相与液相熔化模式。结果表明， $E < 1.5 \text{ J} \cdot \text{cm}^{-2}$  时，属于固相模式； $E > 1.5 \text{ J} \cdot \text{cm}^{-2}$  时，属于液相模式。但是，由于束斑不均匀，经同一能量密度的激光辐照后，在样品各部位产生的效应并不完全一样。例如， $E = 2.5 \text{ J} \cdot \text{cm}^{-2}$  时，局部区域发现类似“升华”的情况，而另一些区域由于光的均匀辐照，显然可见硅熔化后的印

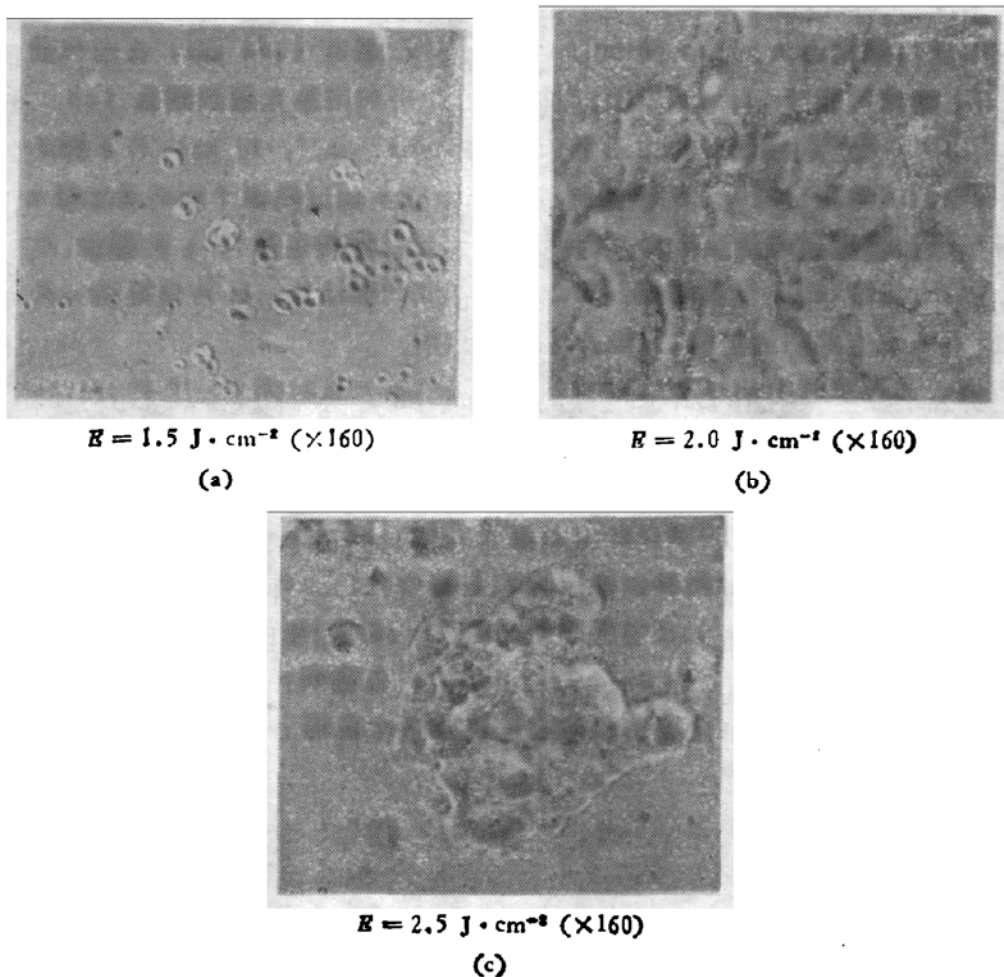


图 1 调 Q 红宝石激光辐照后 Si 片表面的 Normaski 显微相\*。

\*  $E = 0.8 \text{ J} \cdot \text{cm}^{-2}$ , 未观察到电子吸收象。 $E = 1.0 \text{ J} \cdot \text{cm}^{-2}$ , 形貌相无任何特征。

迹。典型的结果如图 1 所示。有的作者认为,当能量密度较大时 ( $E > 2.5 \text{ J} \cdot \text{cm}^{-2}$ ), 红宝石激光器辐照 Si 后所产生氧化往往重复性很差。我们认为这可能是由于束斑的不均匀性所引起的,我们在工作中也长期受到这种干扰,以致得不到有规律性的结果。

我们还对激光辐照后的样片进行了 IR 吸收测量。在 IR 吸收光谱的  $1106\text{cm}^{-1}$  吸收峰的两侧未发现严重的加宽或其他弱肩结构。这说明激光辐照后的硅表面并未形成较厚的  $\text{SiO}_x$  或  $\text{SiO}_2$  薄层。

## 2. AES 分析

根据上述束斑不均匀的特点,我们对每一能量密度激光辐照的斑印,在印内、印外选取几点进行 AES 分析。对  $E = 0.8 \text{ J} \cdot \text{cm}^{-2}$ ,  $1.0 \text{ J} \cdot \text{cm}^{-2}$  和  $1.5 \text{ J} \cdot \text{cm}^{-2}$  激光辐照的 Si 表面, AES 分析结果重复性较好。典型结果如表 1 和图 2 所示。

表 1\*

样品或分析点号	辐照激光能量密度 ( $\text{J} \cdot \text{cm}^{-2}$ )	$\text{SiO}_2$ 厚度 ( $\text{\AA}$ )	$\text{SiO}_x$ 厚度 ( $\text{\AA}$ )	氧沾污深度 ( $\text{\AA}$ )	碳沾污深度 ( $\text{\AA}$ )
1	未辐照的 清洁 Si 表面	~10	10	40	20
2	未辐照的 清洁 Si 表面	~10	10	50	20
7-1	1.0	~10	30	50	20
7-2	1.0	~10	20	40	30
7-3	1.0	~10	20	70	30
8a	1.5	~10	20	70	40
12	1.5	~10	20	40	40

\* 对于  $E = 0.8 \text{ J} \cdot \text{cm}^{-2}$ , 电子吸收象未见有任何斑印。

由此可见,用  $E = (0.8-1.5) \text{ J} \cdot \text{cm}^{-2}$  的激光在空气中辐照 Si 表面,并未引进氧沾污。我们观察到的结果基本上与暴露在空气中形成的自然氧化层相同。

经  $E = 2.0 \text{ J} \cdot \text{cm}^{-2}$  或  $2.5 \text{ J} \cdot \text{cm}^{-2}$  激光辐照后的硅表面,各处情况不完全相同。个别区域其氧化状况有较大差异,但大多数结果比较一致,特别是束斑较均匀的区域,在上面取几点进行分析,其结果是很相符的。由于束斑的均匀性不好可能使实验结果的重复性受影响,但认真细致地分析后,仍可得到其中的规律性,典型的结果如表 2 和图 3 所示。应当指出,上述结果中氧、碳沾污比较严重的区域,在 Normaski 显微象和电子吸收象中都有明显的发黑点。产生这种情况很可能是由于束斑不均匀,局部能量密度很大,以致在瞬间“升华”表面所引起的。由此可见,在正常的情况下,当  $E = 2.0 \text{ J} \cdot \text{cm}^{-2}$  或  $2.5 \text{ J} \cdot \text{cm}^{-2}$  的激光辐照下,也不会产生  $> 10 \text{ \AA}$  的  $\text{SiO}_2$  层或  $100 \text{ \AA}$  的氧沾污。

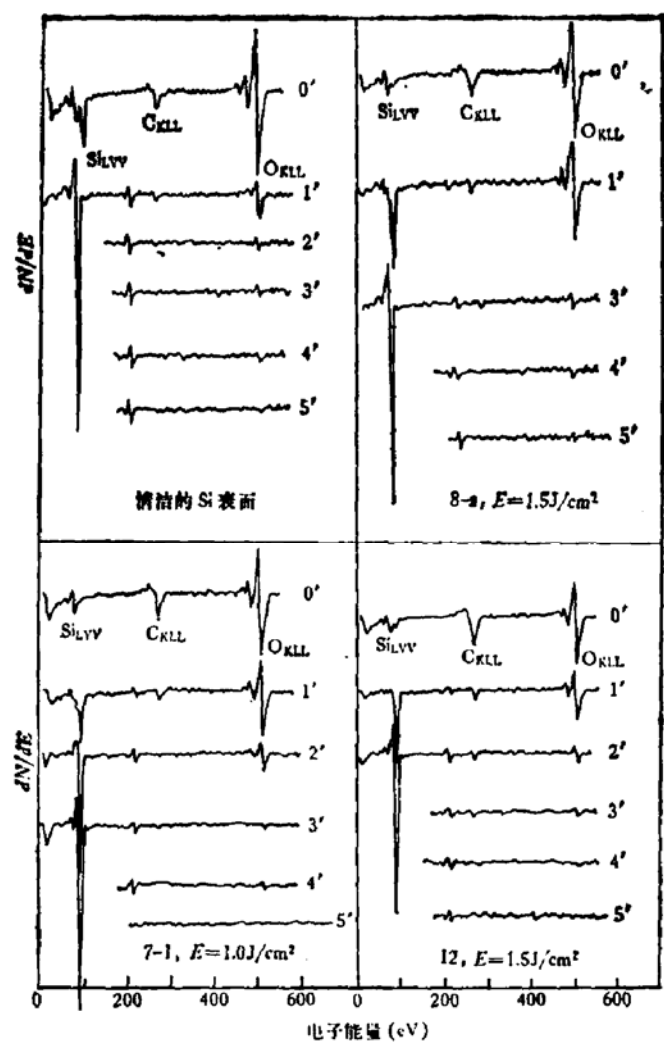


图2 经  $E = 1.0 \text{ J} \cdot \text{cm}^{-2}$ ,  $1.5 \text{ J} \cdot \text{cm}^{-2}$  激光辐照后 Si 表面的  
Si LVV, O KLL, C KLL 跃迁的溅射俄歇谱

表 2

样品或分析点号	能量密度* ( $\text{J} \cdot \text{cm}^{-2}$ )	$\text{SiO}_2$ 层厚 (Å)	$\text{SiO}_x$ 层厚 (Å)	氧沾污深度 (Å)	碳沾污深度 (Å)
2	未辐照清洁 Si 表面	~10	~10	50	20
3	未辐照清洁 Si 表面	~10	~10	50	20
17-a	2.0	10	10	40	40
17-b	2.0	10	20	90	40
17-c	2.0	10	20	70	40
4-a	2.0	30	30	300	170
3-a	2.5	—	10	40	40
3-b	2.5	—	10	40	40
3-c	2.5	—	10	20	30
3-f	2.5	—	10	40	40
5-a	2.5	10	10	70	50
5-b	2.5	10	20	70	70
16	2.5	10	20	70	40
15	2.5	10	30	100	80
6-a	2.5	10	40	150	120

\* 由于激光束斑不很均匀,因此能量密度值是不够精确。

为了验证 Garulli 等<sup>[1]</sup>的结果, 对  $E = 2.0 \text{ J} \cdot \text{cm}^{-2}$  和  $2.5 \text{ J} \cdot \text{cm}^{-2}$  的激光辐照 Si 表面进行深度分析, 以便观察是否存在类似  $\text{SiO}_2$  这类沉淀物。在相应的深度下, 未发现  $\text{SiO}_2$  这类沉淀物, 典型结果如图 4 所示。

### 三、讨 论 图 3 经 $E = 2.0 \text{ J} \cdot \text{cm}^{-2}$ 和 $2.5 \text{ J} \cdot \text{cm}^{-2}$ 激光辐照后 Si 表面的 $\text{Si}_{\text{LVV}}$ , $\text{O}_{\text{KLL}}$ 和 $\text{C}_{\text{KLL}}$ 跃迁的溅射俄歇谱 1. 根据上述结果, 我们未能观察到 Garulli 等<sup>[1]</sup>的实验现象, 而是得到比较接近 Westendorp 等<sup>[3]</sup>的结论。根据本文及[6], 我们认为在空气中对 Si 片进行激光辐照, 由于所用辐照条件不同, 因而引起的氧沾污也不同, 但 Garulli 等<sup>[1]</sup>报道的严重热激发氧沉淀并不存在。事实上, 一般 CZ-Si 的氧含量 $\sim (1-2) \times 10^{18} \text{ cm}^{-3}$ ; 在 $(700-800)^\circ\text{C}$ 热处理时很容易引起氧(或碳)沉淀<sup>[7]</sup>。Garulli 等<sup>[1]</sup>用调 $Q$ 红宝石激光器在空气中对 Si 进行辐照, 然后在 $(700-800)^\circ\text{C}$ 的温度退火 30 分钟, 之后用 TEM 观察到在 $125\text{nm}$ 深处存在厚为 $250\text{nm}$ 的 $\alpha\text{-SiO}_2$ , 但在 $(450-600)^\circ\text{C}$ 进行热处理, 他们 图 4 经 $E = 2.0 \text{ J} \cdot \text{cm}^{-2}$ 激光辐照后 $\text{Si}_{\text{LVV}}$ 和 $\text{O}_{\text{KLL}}$ 深度俄歇谱

并未观察到任何  $\alpha\text{-SiO}_2$  沉淀物。因此，在他们的实验中观察到的  $\alpha\text{-SiO}_2$  沉淀物归因于激光辐照所引起的产物显然是欠妥。我们认为在空气中进行瞬态 ( $\sim\text{ns}$ ) 或长时间 ( $\sim 10\text{ s}$  固相模式) 的激光退火，硅表面氧化并不严重。在另一工作中我们也证明了这一观点<sup>[8]</sup>。

2. 在空气中对硅表面进行激光辐照，由于硅表面受热而产生表面氧化，其来源主要来自两方面：(1) 表面吸附的氧原子或硅的氧化物；(2) 空气中所含的氧。处于高温状态的硅表面，一方面可能产生氧原子向体内扩散，然后逐步形成  $\text{SiO}_x$  和  $\text{SiO}_2$  之类的氧化物；但另一方面，处于高温的硅表面，也可能产生自然氧化层的蒸发。当硅表面处于很高温时，后一种情况不能低估。现在我们分别讨论这两种情况：

对于固相模式，例如 CW  $\text{CO}_2$  激光退火。此时硅片的温度约为  $1100^\circ\text{C}$ <sup>[6]</sup>，氧的扩散系数  $D \approx 10^{-13}\text{cm}^2/\text{s}$ 。设辐照时间  $\tau = 30$  秒，则氧的扩散深度约为

$$L = \sqrt{D\tau} \approx 170\text{\AA}$$

这个估算与我们利用 CW  $\text{CO}_2$  激光辐照硅片所产生的氧沾污深度基本相符<sup>[6]</sup>，也与 Boyd<sup>[9]</sup> 最近发表的结果相符。事实上，在加热过程中，硅原子的迁移率很小，扩散移动的原子主要是氧<sup>[10]</sup>。因此，氧原子向硅体内不断扩散，形成一个由硅表面到体内的氧原子浓度梯度， $\text{SiO}_2$  是在  $\text{SiO}_x$  的基础上发展形成的<sup>[4]</sup>。所以我们在最表面观察到一层  $\text{SiO}_2$ ，在  $\text{SiO}_2$  之下只看见  $\text{SiO}_x$ ，而最深处则只观察到自由氧原子<sup>[6]</sup>。具体模型如图 5 所示。显然，当辐照时间很短，如表 1 所示，红宝石激光辐照能量密度  $E < 1.5\text{ J} \cdot \text{cm}^{-2}$ ， $\tau = 30\text{ ns}$ ，此时仍属固相模式，于是只观察到很薄的表面自然氧化层，而看不到长时间 ( $\sim 10\text{ s}$ ) 辐照时的氧化现象。

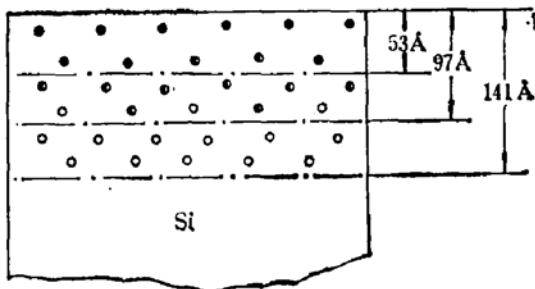


图 5 CW  $\text{CO}_2$  激光辐照后硅片表面氧化层结构模型。  
 $E = 550\text{W} \cdot \text{cm}^{-2}$ ,  $\phi = 3\text{mm}$ ,  $T = 1100^\circ\text{C}$ ,  $\tau = 20\text{ s}$   
● ---  $\text{SiO}_2$ , ○ ---  $\text{SiO}_x$ , O --- O

对于液相模式，此时硅片的加热温度  $> 1420^\circ\text{C}$ ，表面的氧化作用比较复杂，表面氧化层的蒸发也不能低估。当  $T = 2000\text{K}$  时， $\text{SiO}_2$  的蒸发速率为  $3.5 \times 10^{12}\text{mol/cm}^2 \cdot \text{ns}$ <sup>[11]</sup>。因此，在高真空下，一个适当能量密度的激光脉冲 ( $\tau = 30\text{ ns}$ ) 可以除去约  $1/10$  的自然氧化层。这正是近年来证实的在真空中激光辐照可以产生清洁作用的原因。对于硅表面存在一层液态 Si 后，氧原子是否可以向硅体内扩散的问题，可以这样分析：在适当能量密度的短脉冲 ( $10\text{ ns}$ ) 辐照下，在硅表面形成  $\sim 3000\text{\AA}$  的硅熔体，原来在硅表面的氧化物处于这熔体之上。但是，据估算<sup>[5]</sup>，厚  $30\text{\AA}$  的硅氧化物若全部被溶在  $(1700-1775)\text{K}$  的硅熔体中需要  $(1.8-0.18)\text{秒}$ ，而硅熔体的再结晶速度又很快， $\sim (2-3)\text{m/s}$ <sup>[12]</sup>，所以硅表面的氧化物不可能被溶进硅熔体中。但是，杂质在硅熔体中扩散系数很大， $D \approx 10^{-3}\text{cm}^2/\text{s}$

s, 所以表面硅的氧化物中的氧可能在短时间内向内扩散。但硅中氧的固溶度 $\sim(1-2)\times 10^{18}\text{cm}^{-3}$ , 因此, 在瞬态结晶过程中过饱和的氧又有可能被分凝而向外扩散。总之, 对液相模式, 在瞬态 (10 ns) 激光辐照下, 当能量密度不大时, 似乎不应产生氧的深度沾污。但当能量密度很大时, 激光辐照的硅表面其温度很高, 此时情况比较复杂, 尚有待进一步工作说明。

对中山大学姚杰老师为我们进行红宝石激光退火, 对中国科学院半导体研究所高维滨同志、郑怀德同志在金相观察和 IR 吸收谱方面的帮助表示深切谢意。

### 参 考 文 献

- [1] A. Garulli, M. Servidori and I. Vecchi, *J. Phys. D, Applied Phys.*, **13**, L199 (1980).
- [2] Y. S. Liu, S. W. Chiang and F. Bacon, *Appl. Phys. Lett.*, **38**, 1005 (1981).
- [3] Y. S. Liu, Shin-Wu Chiang and W. Katz, *Laser and Electron-Beam Interaction with Solid*, Eds. B. R. Appleton and G. K. Celler, North Holland, New York, P249 (1982).
- [4] A. Cross, F. Salvan, J. Derrien, *Appl. Phys.*, **A28**, 241 (1982).
- [5] J. F. M. Westendorp, Z. L. Wang and F. W. Saris, *Laser and Electron-Beam Interaction with Solid*, Eds. B. R. Appleton and G. K. Celler, North Holland, New York, p 255, (1982).
- [6] 许振嘉, 陈维德, 物理学报, **33**, 9 (1984).
- [7] 许振嘉, 蒋四南, 孙伯康, 刘江夏, 半导体学报, **3**, 450 (1982).
- [8] 王忠烈, 汉·惠斯登杜布, 费·萨里斯, 许振嘉, 陈维德, 第三届全国半导体集成电路、硅材料学术会议论文集, p. 107, (1983), 合肥.
- [9] I. W. Boyd, *Appl. Phys.*, **A31**, 71 (1983).
- [10] R. Preterius, W. Stryclon and J. W. Mayer, *Phys. Rev.*, **B22**, 1885 (1980).
- [11] Z. L. Wang (王忠烈) J. F. M. Westendorp and F. W. Saris, *Nuclear Instruments and Methods* **211**, 193 (1983).
- [12] J. C. Wang, R. F. Wood and P. P. Pronko, *Appl. Phys. Lett.*, **33**, 455 (1978).  
R. F. Wood, G. E. Giles, *Phys. Rev.*, **B23**, 2923 (1981).

## Ruby Laser Induced Oxidation of the Si (100) Surfaces

Hsu Chenchia and Chen Weide  
(Institute of Semiconductors, Academia Sinica)

### Abstract

Various experimental techniques including sputtered AES, Normaski technique and IR absorption spectrum have been used to study the Si (100) surfaces irradiated by a Q switched ruby laser in air. The energy densities of the pulses are ( $0.8-2.5\text{J}\cdot\text{cm}^{-2}$ ), pulse width  $\sim 30\text{ ns}$ . The results show no evidence for  $>10\text{\AA}$   $\text{SiO}_2$  layer on the surface, and the depth of oxygen contamination is only  $\sim 50\text{\AA}$  after irradiation.